

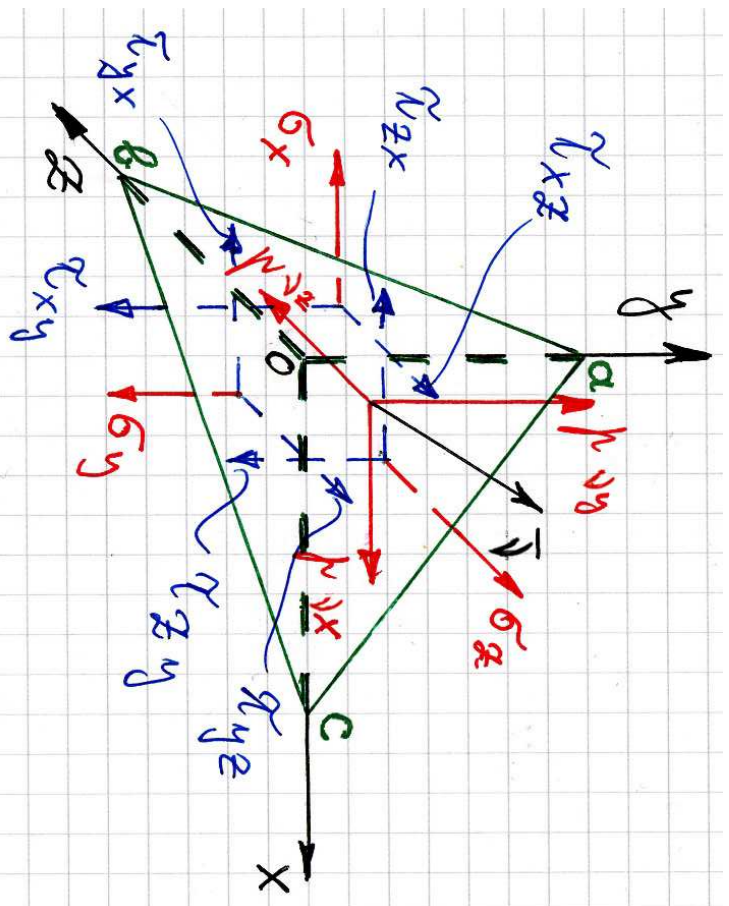
## Peatükk 4

# Peapinged ja peadeformatsioonid

### 4.1. Pinged kaldpinnal

4 - 2

## 4.1 Pinged kaldpinnal



Joonis 4.1: Pinged kaldpinnal. Kaldpinnal normaaliga  $\nu$  mõjuv pingevektor  $\mathbf{p}_\nu$  on esitatud läbi tema projektsioonide  $p_{\nu x}$ ,  $p_{\nu y}$  ja  $p_{\nu z}$ .

Selleks, et uurida pingeseisundit suvalises keha punktis on vaja osata leida pingeid meelevaldse orientatsiooniga kaldpinnal. Joonisel 4.1 kujutatud kaldpinna  $abc$  orientatsioon koordinaattelgede suhtes on määratud pinnanormaali  $\boldsymbol{\nu}$  suunakoosinustega

$$l = \cos(\boldsymbol{\nu}, x), \quad m = \cos(\boldsymbol{\nu}, y), \quad n = \cos(\boldsymbol{\nu}, z). \quad (4.1)$$

Koos koordinaatpindadega moodustub *lõpmata väike tetraeeder*  $Oabc$ . Tähistame kaldpinna  $abc$  pindala  $dA$ . Tetraeedri teiste külgede pindalad avalduvad nüüd läbi vektori  $\boldsymbol{\nu}$  suunakoosinuste<sup>1</sup>:

$$A_{Oab} = dA \cdot l, \quad A_{Obc} = dA \cdot m, \quad A_{Oac} = dA \cdot n. \quad (4.2)$$

Koostame tetraeedri jaoks tasakaalu võrrandid. Peale joonisel 4.1 näidatud pingete mõjuvad tetraeedrile veel mahujõud  $X, Y, Z$ , mida pole joonisel näidatud. Projekteerime tetraeedrile mõjuvad jõud  $x$ -teljele:

$$\begin{aligned} p_{\nu x} dA - \sigma_x A_{Oab} - \tau_{yx} A_{Obc} - \tau_{zx} A_{Oac} + X dV = \\ p_{\nu x} dA - \sigma_x dA \cdot l - \tau_{yx} dA \cdot m - \tau_{zx} dA \cdot n + X dV = 0. \end{aligned} \quad (4.3)$$

<sup>1</sup>Nurgad tetraeedri tahkude ja vastavate normaalide vahel on võrdsed.

#### 4.1. Pinged kaldpinnal

#### 4 - 4

Jagame viimase avaldise pindalaga  $dA$ , hülgame viimase liikme kui kõrgemat järku väikese<sup>2</sup> ja saame avaldise

$$p_{\nu x} = \sigma_x l + \tau_{yx} m + \tau_{zx} n. \quad (4.4)$$

Korrates sama protseduuri teiste telgedega saame avaldised pingvektori  $\mathbf{p}_\nu$  tilejäänud kahe projektsiooni leidmiseks. Kokku saame

$$\begin{cases} p_{\nu x} = \sigma_x l + \tau_{yx} m + \tau_{zx} n, \\ p_{\nu y} = \tau_{xy} l + \sigma_y m + \tau_{zy} n, \\ p_{\nu z} = \tau_{xz} l + \tau_{yz} m + \sigma_z n. \end{cases} \quad (4.5)$$

Tegelikult oleme sellise protseduuriga lähendanud vaadeldava kaldpinna punktile  $O$  ja leitud valemid esitavad seega punkti  $O$  läbival kaldpinnal normaaliga  $\boldsymbol{\nu}$  mõjuva pingvektori  $\mathbf{p}_\nu$  projektsioone koordinaattelgedel. Suunakoosinuste kordajad viimases valemis on aga pingetensori komponendid punktis  $O$ .

*Valemid (4.5) võimaldavad leida mistahes punkti läbival mistahes kaldpinnal mõjuva pingvektori  $\mathbf{p}_\nu$  komponente kui on teada pinnanormaal  $\boldsymbol{\nu}$  ja pingetensori komponendid  $\sigma_x, \dots, \tau_{xy}, \dots$  vaadeldavas punktis.*

<sup>2</sup>Arvestades, et tegu on lõpmata väikese tetraeedriga piirväärtus  $\lim_{dA \rightarrow 0} (dV/dA) = 0$

Kui pinnanormaal  $\boldsymbol{\nu} = (l, m, n)$  on nn. reavektor ja pingetensor on tähistatud  $\mathbf{S}$ , siis vaame valemid (4.5) esitada kujul

$$\mathbf{p}_\nu = \boldsymbol{\nu} \cdot \mathbf{S}. \quad (4.6)$$

Kui pind  $abc$  tihtib keha välispinnaga, siis esitavad võrrandid (4.5) *rajatingimusi ehk ääretingimusi keha pinnal*. Teisisõnu, sellisel juhul seovad avaldised (4.5) keha pinnal mõjuvad pindjõud pingetensori komponentidega.

## 4.2 Peapinged

Me näitاسime äsja, et valemid (4.5) võimaldavad määrata pingeid keha mistahes punkti läbival mistahes kaldpinnal kui on teada pinnanormaal  $\boldsymbol{\nu}$  ja pingetensori komponendid  $\sigma_x, \sigma_y, \sigma_z, \tau_{xy}, \tau_{yz}, \tau_{xz}$  (pinged seda punkti läbivatel koordinaattasanditel).

Pinnal normaaliga  $\boldsymbol{\nu}$  mõjuva pinge saab omakorda jagada normaalpingeks  $\sigma_\nu$  ja nihkepingeks  $\boldsymbol{\tau}_\nu$ . Kui on teada pingevektori  $\mathbf{p}_\nu$  komponendid ja normali  $\boldsymbol{\nu}$  suunakoosinused, siis saame leida pingevektori  $\mathbf{p}_\nu$  projektsiooni normaali  $\boldsymbol{\nu}$ :

$$\sigma_\nu = \mathbf{p}_\nu \cdot \boldsymbol{\nu} = p_{\nu x}l + p_{\nu y}m + p_{\nu z}n. \quad (4.7)$$

### 4.9. Peapinged

### 4 - 6

On selge, et  $\sigma_\nu = \sigma_\nu \boldsymbol{\nu}$ . Kasutades valemid (4.5) saab  $\sigma_\nu$  omakorda avaldada koordinaattasandil mõjuvate pingete kaudu. Nihkepinge  $\boldsymbol{\tau}_\nu$  kujutab endast pingevektori  $\mathbf{p}_\nu$  projektsiooni vaadeldavalt pinnal ja tema moodul

$$\tau_\nu^2 = p_\nu^2 - \sigma_\nu^2. \quad (4.8)$$

Nii  $\mathbf{p}_\nu$ , kui  $\sigma_\nu$  ja  $\boldsymbol{\tau}_\nu$  sõltuvad pinna orientatsioonist. Saab näidata, et igas punktis leidub vähemalt kolm omavahel ristuvat pinda, millel nihkepinge  $\boldsymbol{\tau}_\nu = 0$  ja normaalpinge  $\sigma_\nu = p_\nu$ . Selliseid pindasid nimetatakse *peapindadeks*, neil pindadel mõjuvaid normaalpingeid *peapingeteks* ja neid pindu määravaid pinnanormaale *peasuundadeks*.

### 4.2.1 Peapingete ja peasuundede leidmise protseduur.

- Tähistame otstitava peapinge  $\sigma$  ja talle vastava pinnanormali  $\nu$  suunakosinused  $l, m, n$ . Seega on meil neli tundmatut.
- Nende nelja tundmatu määramiseks on võrrandsüsteem

$$\begin{cases} (\sigma_x - \sigma)l + \tau_{xy}m + \tau_{xz}n = 0, \\ \tau_{yx}l + (\sigma_y - \sigma)m + \tau_{yz}n = 0, \\ \tau_{zx}l + \tau_{zy}m + (\sigma_z - \sigma)n = 0 \end{cases} \quad (4.9)$$

koos lisatingimusega

$$l^2 + m^2 + n^2 = 1. \quad (4.10)$$

\*

- Meid huvitab selle VS-i mitte triviaalne lahend ( $l, m, n$  pole korruga nullid). See tingimus on täidetud kui *karakteristlik determinant*

$$\begin{vmatrix} \sigma_x - \sigma & \tau_{xy} & \tau_{xz} \\ \tau_{yx} & \sigma_y - \sigma & \tau_{yz} \\ \tau_{zx} & \tau_{zy} & \sigma_z - \sigma \end{vmatrix} = 0. \quad (4.11)$$

#### 4.2. Peapinged

- Viimastest saadakse omakorda *karakteristlik võrrand*

$$\sigma^3 - I_1^\sigma \sigma^2 + I_2^\sigma \sigma - I_3^\sigma = 0, \quad (4.12)$$

kus suurused

$$\begin{cases} I_1^\sigma = \sigma_x + \sigma_y + \sigma_z, & I_2^\sigma = \begin{vmatrix} \sigma_x & \tau_{xy} \\ \tau_{yx} & \sigma_y \end{vmatrix} + \begin{vmatrix} \sigma_y & \tau_{yz} \\ \tau_{zy} & \sigma_z \end{vmatrix} + \begin{vmatrix} \sigma_x & \tau_{xz} \\ \tau_{zx} & \sigma_z \end{vmatrix}, \\ I_3^\sigma = \begin{vmatrix} \sigma_x & \tau_{xy} & \tau_{xz} \\ \tau_{yx} & \sigma_y & \tau_{yz} \\ \tau_{zx} & \tau_{zy} & \sigma_z \end{vmatrix} \end{cases} \quad (4.13)$$

on *pinge invariantid* ehk *pingetensori invariantid*.

- Uuritaval juhul (st. sümmeetrilise pingetensori korral) on kuupvõrrandil (4.12) kolm reaalarvulist lahendit, mis järjestatakse kahanevas järjekorras  $\sigma_1 \geq \sigma_2 \geq \sigma_3$ . Siinjuures on  $\sigma_1$  suurim võimalik normaalpinge kõikvõimalikel vaadeldavatel punkti läbivatel pindadel mõjuvate normaalpingete hulgas ja  $\sigma_3$  vähim võimalik normaalpinge selles hulgas.

- Neile vastava kolme peasuuna määramiseks asendatakse saadud kolm peapinget kordamööda võrrandisüsteemi (4.9), (4.10). Tulenusena saame igale peapingele  $\sigma_i$  vastava peasuuna suunakoosinused  $l_i, m_i, n_i$ ,  $i = 1, 2, 3$ .
  - *Märkus.* Kuna võrrandisüsteemis (4.9) osutuvad vaid 2 võrrandit kolmest lineaarselt sõltumatuteks, siis erineb saadud võrrandisüsteemi lahendamise tavapärasest. Nimelt saame ühe suunakoosinuse vabalt ette anda.
- Kui koordinaadid on valitud peasuundades, siis on pingetensoris nullist erinevad vaid normaalpinged  $\sigma_1, \sigma_2, \sigma_3$ , st.

$$\begin{bmatrix} \sigma_x & \tau_{xy} & \tau_{xz} \\ \tau_{yx} & \sigma_y & \tau_{yz} \\ \tau_{zx} & \tau_{zy} & \sigma_z \end{bmatrix} \Rightarrow \begin{bmatrix} \sigma_1 & 0 & 0 \\ 0 & \sigma_2 & 0 \\ 0 & 0 & \sigma_3 \end{bmatrix} \quad (4.14)$$

- Peasuundade praktilise leidmise juurde tuleme tagasi näites 4.2.

Sõltuvalt kuupvõrrandi lahendite väärtustest, saab eristada kolme juhtu:

1. Kui *kõik kolm peapinget on erinevad*, siis saadakse võrrandisüsteemi (4.9), (4.10) lahendamisel kolm ristuvat ühikvektorit.

#### 4.9. Peapinged

#### 4 - 10

2. Kui *kõik kolm peapinget on võrdsed*, siis sobib peapinnaks iga vaadeldavat punkti läbiv pind. Praktilistel kaalutustel valitakse tavaliselt ristuvate pindade kolmik, mis omakorda määrab omavahel ristuvate peasuundade kolmiku.
3. Kui *kaks peapinget on võrdsed ja kolmas neist erinev*, siis saame määrata sellele kolmandale peapingele vastava peasuuna, mis omakorda määrab peapinna. Ülejäänud kaheks peasuunaks sobib mistahes ristuvate suunade paar, mis on omakorda risti kolmanda peasuunaga.

Kasutades peapingeid saame pinge invariantid kujul

$$\begin{cases} I_1^\sigma = \sigma_1 + \sigma_2 + \sigma_3, \\ I_2^\sigma = \sigma_1\sigma_2 + \sigma_2\sigma_3 + \sigma_1\sigma_3, \\ I_3^\sigma = \sigma_1\sigma_2\sigma_3. \end{cases} \quad (4.15)$$

- Kuna invariantid on sõltumatud koordinaatide valikust, tuleb neid vaadelda kui põhilisi suurusi, mis iseloomustavad pingust ehk pingeseisundit vaadeldavas punktis — kõik pingekomponendid on määratavad läbi invariantide.



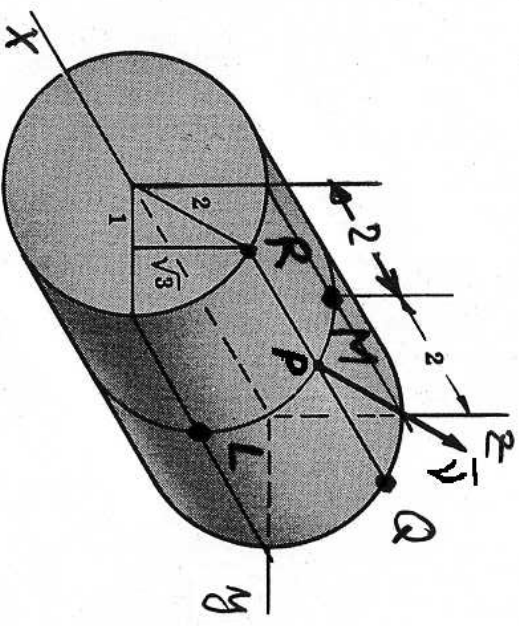
**Pinguste liigid.** Sõltuvalt sellest, mitu peapinget on nullist erinevad, eristatakse kolme pinguse liiki:

- *ruumpingus* – kõik kolm peapinget on nullist erinevad;
- *tasandpingus* – üks peapinge on null, kaks nullist erinevad;
- *joonpingus* – kaks peapinget on nullid, üks nullist erinev.

**Näide 4.1.** Pingus keha punktides on antud pingetensoriga (Descartes'i ristkoordinaatides)

$$S = \begin{bmatrix} 3xy & 5y^2 & 0 \\ 5y^2 & 0 & 2z \\ 0 & 2z & 0 \end{bmatrix}.$$

Leida pinge(vektor), mis mõjub silindri külgpinnal  $y^2 + z^2 = 4$  punktides  $P, Q, R, L$  ja  $M$  ning silindri otspindade punktides  $Q$  ja  $R$ . Lahutage pingevektor normaal- ja nihkepingeks.



Joonis 4.2: Silinder raadiussega  $r = 2$ .

#### 4.2. Peapinged

**Lahendus.** Lahendamisel tuleb kasutada valemeid (4.5), (4.6), (4.7) ja (4.8).

$$\bar{S} = \begin{bmatrix} 3xy & 5y^2 & 0 \\ 5y^2 & 0 & 2z \\ 0 & 2z & 0 \end{bmatrix}$$

Silindri  $y^2 + z^2 = 4$  alla  $\Phi = y^2 + z^2 - 4 = 0$

Silindri normaal:  $\bar{J}^* = \text{grad } \Phi = \dots = (0, 2y, 2z)$

üldnormaal  $\bar{J} = \bar{J}^* / |\bar{J}^*|$ ;  $|\bar{J}^*| = 2\sqrt{y^2 + z^2}$

Pinge minimal vormalisega  $\bar{J}$ :  $\bar{r}_N = \bar{J} \cdot \bar{S}$  Nõrde valem (2.5)

\*) Punkt  $P = (2, 1, \sqrt{3}) \rightarrow \bar{J}^* = (0, 2, 2\sqrt{3}) \rightarrow |\bar{J}^*| = 4 \Rightarrow \bar{J} = (0, 1/2, \sqrt{3}/2)$

$$\bar{S} = \begin{bmatrix} 6 & 5 & 0 \\ 5 & 0 & 2\sqrt{3} \\ 0 & 2\sqrt{3} & 0 \end{bmatrix}$$

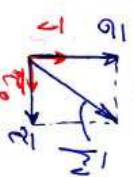
$\bar{r}_N = (2, 5; 3 \cdot \sqrt{3})$ ;  $|\bar{r}_N| = 4, 292$   
 $\sigma_N = \bar{r}_N \cdot \bar{J} = 3$  a.o.  $\bar{r}_N$  progektseerim normaali  $\bar{J}$  suks

Normaalpinge  $\bar{\sigma} = \sigma_N \bar{J}$ , vastav maadul  $\sigma = |\bar{\sigma}| = |\sigma_N|$

Vk. jätkul  $\bar{\sigma} = 3 \cdot (0; 1/2; \sqrt{3}/2)$   $\bar{\sigma}_0 \sigma = 3$

Nihkepinge  $\bar{\tau} = \bar{r}_N - \bar{\sigma} = (2, 5; 3; \sqrt{3}) - 3 \cdot (0; 1/2; \sqrt{3}/2) = \dots = (2, 5; 1, 5; -\frac{\sqrt{3}}{2})$

Vastav maadul  $|\bar{\tau}| = \sqrt{r_N^2 - \sigma^2} = \sqrt{\tau_x^2 + \tau_y^2 + \tau_z^2} = 5, 04$



\*) punkt  $Q = (0, 1, \sqrt{3})$   $\bar{s} = \begin{bmatrix} 0 & 5 & 0 \\ 5 & 0 & 2\sqrt{3} \\ 0 & 2\sqrt{3} & 0 \end{bmatrix}$  NB! Kõikpinnane punkt  
 Kõik vana on sama, mis punktis P

\*) punkt  $R = (4, 1, \sqrt{3})$  / kõig pinnane punkt /

Kõik vana on sama, mis p.-des P ja Q  
 $\bar{s} = \begin{bmatrix} 12 & 5 & 0 \\ 5 & 0 & 2\sqrt{3} \\ 0 & 2\sqrt{3} & 0 \end{bmatrix}$

\*) punkt  $L = (2, 2, 0) \Rightarrow \bar{v} = (0, 1, 0)$   $\bar{s} = \begin{bmatrix} 12 & 20 & 0 \\ 20 & 0 & 0 \\ 0 & 0 & 0 \end{bmatrix}$

$\bar{r}_V = \bar{v} \cdot \bar{s} = (20; 0; 0) \Rightarrow r_V = 20$

$\bar{\sigma} = \bar{r}_V$  &  $\sigma = 0$

Vt. joonis +!

\*) punkt  $M = (2; 0; 2) \Rightarrow \bar{v} = (0; 0; 1)$

$\bar{r}_V = \bar{v} \cdot \bar{s} = (0; 4; 0)$   $r_V = 4$

$\bar{s} = \begin{bmatrix} 0 & 0 & 0 \\ 0 & 0 & 4 \\ 0 & 4 & 0 \end{bmatrix}$

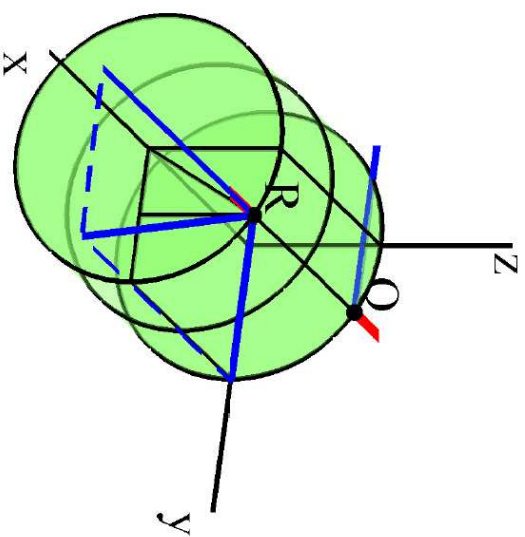
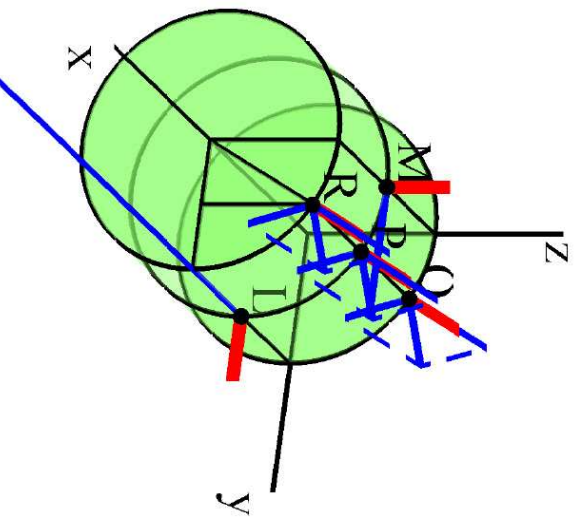
$\bar{\sigma} = \bar{r}_V$   $\sigma = 0$  Vt. joonis!

\*) Punkt  $Q = (0, 1, \sqrt{3})$  ots pinnal  $\Rightarrow \bar{v} = (-1; 0; 0)$

$\bar{s}$  on juuba lastud  $\bar{r}_V = (0; -5; 0) \Rightarrow \bar{\sigma} = \bar{r}_V$  &  $\sigma = 0$

\*) Punkt  $R = (4, 1, \sqrt{3})$  ots pinnal.  $\bar{s}$  on lastud,  $\bar{v} = (1, 0, 0)$   
 $r_V = (12, 5, 0) \Rightarrow \bar{\sigma} = (12, 0, 0)$   $\bar{\tau} = (0, 5, 0)$

## 4.2. Peepinged



Joonis 4.3: Pingevektorid silindri pinnal. Vasakpoolsel joonisel on kujutatud silindri külgpinnal ja parempoolsel joonisel silindri otspinnal mõjuvad pinged. Punased jooned näitavad pinnamor-  
 maale ja sinised pingeid.

**Näide 4.2.** Leida peapinged ja peasuunad pingetensorile

$$S = \begin{bmatrix} -1 & -16 & -2 \\ -16 & 5 & -14 \\ -2 & -14 & 14 \end{bmatrix}.$$

**Lahendus.** Antud tulesannet on võimalik lahendada kahel põhimõtteliselt erineval viisil — „käsitsi” ja „arvutiga”.

**A. „Käsitsi”.**

1. Tuleb koostada võrrandisüsteem (4.9).

$$\begin{cases} (-1-\sigma)l - 16m - 2n = 0 \\ -16l + (5-\sigma)m - 14n = 0 \\ -2l - 14m + (14-\sigma)n = 0 \end{cases} \quad (*)$$

2. Vastava karakteristliku determinantide abil tuleb moodustada karakteristlik võrrand ja leida selle lahendid.

#### 4.2. Peapinged

Karakteristlik determinant

$$\begin{vmatrix} -1-\sigma & -16 & -2 \\ -16 & 5-\sigma & -14 \\ -2 & -14 & 14-\sigma \end{vmatrix} = 0 \dots \Rightarrow \sigma^3 - 18\sigma^2 - 405\sigma + 4374 = 0 \quad (**)$$

Karakteristlik kuurvõrrand

$$(**) \rightarrow \text{kolm lahendit } \sigma = [-18; 27; 9] \rightarrow$$

Viimased ongi peapinged, mis tuleb järjestada kahanevas järjekorras ( $\sigma_1 \geq \sigma_2 \geq \sigma_3$ ).

$$\text{kolm peapinget } \sigma_1 = 27, \sigma_2 = 9, \sigma_3 = -18; \underline{\underline{\sigma_1 \geq \sigma_2 \geq \sigma_3}} \quad \checkmark$$

3. Peapinged  $\sigma_i$  ( $i = 1, 2, 3$ ) tuleb asendada üksikhaaval võrrandisüsteemi (4.9).

(a) Iga peapinge  $\sigma_i$  jaoks saate kolm võrrandit, millest peab välja valima suvalised kaks. Neisse tuleb asendada näiteks  $n_i = 1$  ja leida vastavad  $l_i$  ja  $m_i$ . Tulemusena saate vektori  $\mathbf{N}_i^* = (l_i^*, m_i^*, n_i^*)$ , mis määrab peapingele  $\sigma_i$  vastava peasuuna.



$$\bullet \sigma_1 = 27 \rightarrow (4.9) \rightarrow$$

$$\begin{cases} -28l_1 - 16m_1 - 2n_1 = 0 \\ -16l_1 - 22m_1 - 14n_1 = 0 \\ -2l_1 - 14m_1 - 13n_1 = 0. \end{cases} \quad (4.16)$$

– Neist on vaid kaks lineaarselt sõltumatud:  
 $0,5 * 1.$  võrrand +  $3.$  võrrand =  $2.$  võrrand.

$$\bullet n_1 = 1 \rightarrow (4.16) \text{ ja hilgane } 3. \text{ võrrandi}$$

$$\begin{cases} -14l_1 - 8m_1 = 1, \\ -8l_1 - 11m_1 = 7, \end{cases} \quad (4.17)$$

kust saame  $l_1 = 0,5$  ja  $m_1 = -1$ , st.  $\mathbf{N}_1^* = (0,5; -1; 1)$

(b) Järgmise sammuna tuleb saadud vektor  $\mathbf{N}_i^*$  normeerida, s.t. leida vastav ühikvektor  $\mathbf{N}_i = \mathbf{N}_i^* / |\mathbf{N}_i^*|$ .

$$\bullet |\mathbf{N}_1^*| = 1,5 \text{ ja seega}$$

$$\mathbf{N}_1 = \frac{2}{3} \begin{pmatrix} 1 \\ 2 \\ -1; 1 \end{pmatrix} = \begin{pmatrix} 1 \\ 3; -\frac{2}{3}; \frac{2}{3} \end{pmatrix}. \quad (4.18)$$

#### 4.2. Peepinged

Kokku saame

$$\sigma_1 = 27 \rightarrow (\infty) \rightarrow \bar{\mathbf{N}}_1 = \left( \frac{1}{3}, -\frac{2}{3}, \frac{2}{3} \right)$$

$$\sigma_2 \rightarrow (\infty) \rightarrow \bar{\mathbf{N}}_2 = \left( -\frac{2}{3}, \frac{1}{3}, \frac{2}{3} \right)$$

$$\sigma_3 \rightarrow (\infty) \rightarrow \bar{\mathbf{N}}_3 = \left( \frac{2}{3}, \frac{2}{3}, \frac{1}{3} \right)$$

4. Peale peasuundade leidmist tuleb kontrollida, kas nad moodustavad paarima käe kolmiku, s.t. kas  $\mathbf{N}_3 = \mathbf{N}_1 \times \mathbf{N}_2$ .

$$\bullet \text{ Kui } \mathbf{N}_1 = (l_1, m_1, n_1) \text{ ja } \mathbf{N}_2 = (l_2, m_2, n_2), \text{ siis}$$

$$\mathbf{N}_1 \times \mathbf{N}_2 = \begin{Bmatrix} \begin{vmatrix} m_1 & n_1 \\ m_2 & n_2 \end{vmatrix}, \begin{vmatrix} n_1 & l_1 \\ n_2 & l_2 \end{vmatrix}, \begin{vmatrix} l_1 & m_1 \\ l_2 & m_2 \end{vmatrix} \end{Bmatrix}. \quad (4.19)$$

$$\text{Parima käe kolmiku kontroll: } \bar{\mathbf{N}}_3 = \bar{\mathbf{N}}_1 \times \bar{\mathbf{N}}_2 = \left( -\frac{2}{3}, -\frac{2}{3}, -\frac{1}{3} \right)$$

Seega tuleb peasuundadeks valida

$$\mathbf{N}_1 = \begin{pmatrix} 1 \\ 3; -\frac{2}{3}; \frac{2}{3} \end{pmatrix}, \quad \mathbf{N}_2 = \begin{pmatrix} 2 \\ -\frac{2}{3}; \frac{1}{3}; \frac{2}{3} \end{pmatrix}, \quad \mathbf{N}_3 = \begin{pmatrix} 2 \\ -\frac{2}{3}; -\frac{2}{3}; -\frac{1}{3} \end{pmatrix}. \quad (4.20)$$

## B. „Arvutiga”

1. Sisestada pingetensori maatriks.
2. Leida peaväärtused ja peasuunad.
  - Harilikult on selleks käsk `eig` (*eigenvalues*).
3. Järjestada peaväärtused ja peasuunad ümber nii, et  $\sigma_1 \geq \sigma_2 \geq \sigma_3$ .
  - Kuna peaväärtustega koos tuleb ümberjärjestada ka peavektorid, siis tuleb tihti muuta arvutist saadud peavektori  $\mathbf{N}_3$  orientatsioon selliseks, et  $\mathbf{N}_3 = \mathbf{N}_1 \times \mathbf{N}_2$ .

Järgnevalt vaatleme, kuidas käib peaväärtuste ja peasuundade leidmine Matlabi abil.

```
>> % Pingetensor S
S=[-1 -16 -2; -16 5 -14; -2 -14 14]
S =
    -1    -16    -2
   -16     5   -14
    -2   -14    14
```

### 4.9. Peepinged

Pea- ehk omaväärtusi saab leida nii ilma kui koos peasuundadega

```
>> % omaväärtused
eig(S)
ans =
   -18
     9
    27

>> % omaväärtused ja omavektorid
[V,D]=eig(S)
V =
   -2/3    -2/3    1/3
   -2/3    1/3   -2/3
   -1/3    2/3    2/3

D =
   -18     0     0
     0     9     0
     0     0    27
```

Maatriksis  $V$  on peavektorid esitatud veergudes.

Peaväärtused peavad olema järjestatud kahanevalt:

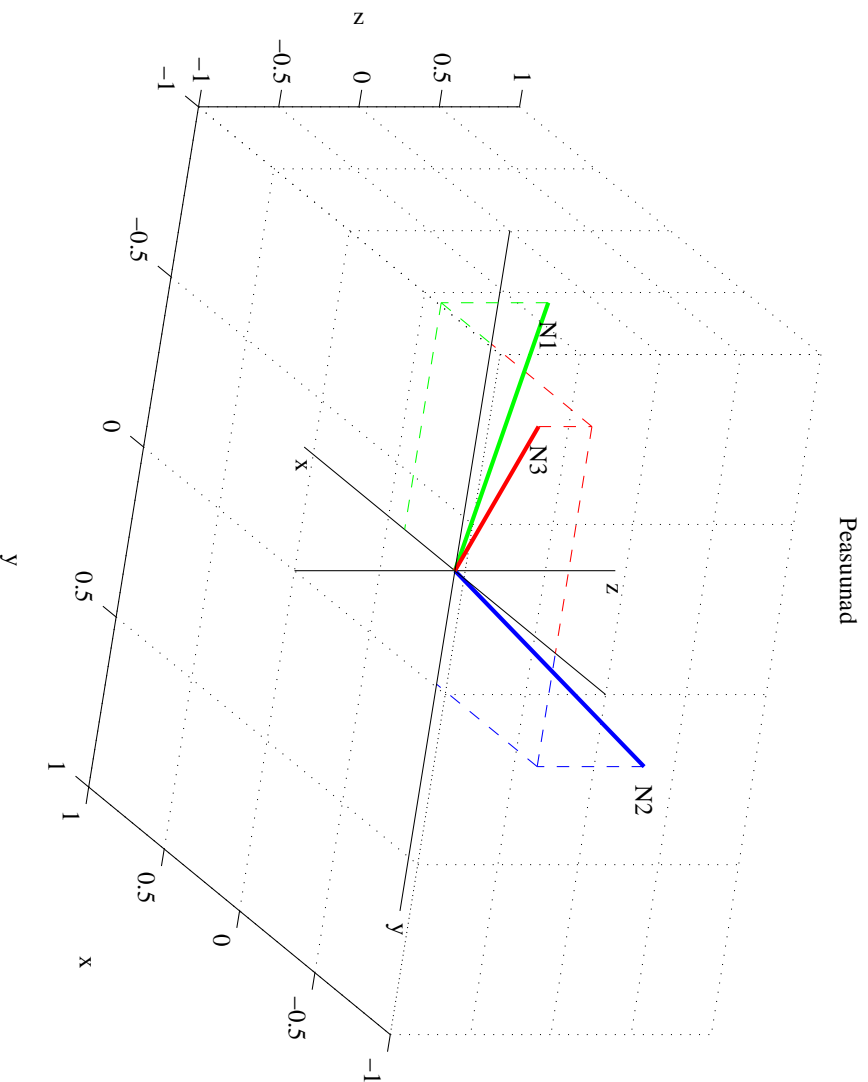
```
>> % omaväärtuste ja omavektorite ümberjärestamine, antud juhul 3<->1
D(1,1)=27;   D(3,3)=-18;
NN=V(:,1);  V(:,1)=V(:,3);  V(:,3)=NN;
D,V
D =
    27     0     0
     0     9     0
     0     0    -18
V =
    1/3    -2/3    -2/3
   -2/3    1/3    -2/3
    2/3    2/3    -1/3
```

Peasunnad peavad moodustama parema käe kolmiku:

```
>> % Kontroll: N3=N1xN2
cross(V(:,1),V(:,2))
ans =
   -2/3
   -2/3
   -1/3
```

Antud juhul oli see tingimus automaatselt täidetud.

#### 4.2. Peapinged



Joonis 4.4: Peasunnad

## 4.3 Peadeformatsioonid

Peasuundi ja peaväärtusi saab leida mistahes teist järku tensoritele. Kuna deformatsioonitensor ja pingetensor on sümmeetrilised tensorid, siis on peadeformatsioonide leidmise protseduur analoogiline peapingete omaga. Antud juhul saame seega deformatsioonitensorile

$$\begin{bmatrix} \varepsilon_x & \frac{1}{2}\gamma_{xy} & \frac{1}{2}\gamma_{xz} \\ \frac{1}{2}\gamma_{yx} & \varepsilon_y & \frac{1}{2}\gamma_{yz} \\ \frac{1}{2}\gamma_{zx} & \frac{1}{2}\gamma_{zy} & \varepsilon_z \end{bmatrix} \quad \text{anda kujul} \quad \begin{bmatrix} \varepsilon_1 & 0 & 0 \\ 0 & \varepsilon_2 & 0 \\ 0 & 0 & \varepsilon_3 \end{bmatrix}, \quad (4.21)$$

misjärel deformatsioonitensori invariantid

$$I_1^\varepsilon = \varepsilon_1 + \varepsilon_2 + \varepsilon_3, \quad I_2^\varepsilon = \varepsilon_1\varepsilon_2 + \varepsilon_2\varepsilon_3 + \varepsilon_1\varepsilon_3, \quad I_3^\varepsilon = \varepsilon_1\varepsilon_2\varepsilon_3. \quad (4.22)$$

Peadeformatsioonid järjestatakse analoogiliselt peapingetele:  $\varepsilon_1 \geq \varepsilon_2 \geq \varepsilon_3$ .

Analoogiliselt pingusega saab ka siin eristada ruum-, tasand- ja ruumdeformatsiooni.